

单级自养脱氮工艺氨氮去除途径研究

杨国红, 方芳*, 郭劲松, 秦宇, 魏英

(重庆大学三峡库区生态环境教育部重点实验室, 重庆 400045)

摘要: 以 SBR 单级自养脱氮系统的污泥为对象, 采用不同的人工模拟废水为反应器进水, 通过批式试验的方式研究了单级自养脱氮系统内的中间产物及氮素平衡情况, 并探讨了氨氮的去除途径。结果表明, 以仅含氨氮的人工模拟废水为进水, 在未投加有机碳源的条件下, 系统内 62% 的氨氮被转化为 NO_2^- 、 NO_3^- 、 NH_2OH 、 N_2H_4 、 NO 、 NO_2 、 N_2O 和 N_2 等一系列氮化合物, 其中 N_2 占 90.07%。单级自养脱氮系统内的氨氮是由多种途径去除的。4.5% 的氨氮是在吹脱等物理作用下去除的, 不超过 3.73% 的氨氮是通过传统的硝化反硝化途径去除的, 53.77% 的氨氮是由自养脱氮途径去除的, 自养脱氮反应起主要的脱氮作用, 且自养脱氮反应可以通过 2 条代谢途径来实现。但在足够 NO_2 存在并且缺氧的条件下, 单级自养脱氮系统内的出水氨氮浓度与空白反应器相当, NH_4^+ 并没有被亚硝化单胞菌以 NO_2 为电子受体氧化为 NO_2^- 和 N_2 等化合物而得以去除, 可能是因为系统内不存在该类型的亚硝化功能菌。

关键词: 单级自养脱氮; 氨氮; 途径; 厌氧氨氧化; 硝化反硝化

中图分类号: X703.1 文献标识码: A 文章编号: 0250-3301(2009)01-0102-06

Mechanism of Ammonium Removal in the Completely Autotrophic Nitrogen Removal in One Reactor Process

YANG Guo-hong, FANG Fang, GUO Jin-song, QIN Yu, WEI Ying

(Key Laboratory of the Three Gorges Reservoir Region's Eco-Environment, Ministry of Education, Chongqing University, Chongqing 400045, China)

Abstract: Different synthetic wastewaters were used in the batch tests to analyze the intermediate products and the nitrogen balance, and to study the mechanism of ammonium removal in the completely autotrophic nitrogen removal in one reactor process with the sludge cultured in the SBR completely autotrophic nitrogen removal system. The results showed that 62% of ammonium was converted to such nitrogen compounds as NO_2^- , NO_3^- , NH_2OH , N_2H_4 , NO , NO_2 , N_2O and N_2 without addition of organic carbon, and N_2 took up 90.07%. The ammonium in the completely autotrophic nitrogen removal in one reactor system was removed in many ways. 4.5% of ammonium was removed in the physical-chemical way. 3.73% of ammonium was converted by the conventional nitrification-denitrification process. The quantity of ammonium removed by the completely autotrophic nitrogen removal in one reactor process was 53.77%, which is the largest, and the completely autotrophic nitrogen removal in one reactor process could be realized in two different metabolic pathways. But the effluent ammonium in the anoxic reactor, where enough NO_2 present were present, was equal to the blank system, and no ammonium was converted to such nitrogen compounds as NO_2^- and N_2 by *Nitrosomonas eutropha* using NO_2 as electron acceptor, which maybe caused by lack of the function bacteria.

Key words: completely autotrophic nitrogen removal in one reactor; ammonium; metabolic pathway; anaerobic ammonium oxidation (ANAMMOX); nitrification-denitrification

单级自养脱氮工艺可以在不加有机碳源的情况下, 由一个反应器内的微生物实现氨氮的去除, 是近 10 年来出现的一种新型脱氮工艺^[1~3], 尤其适用于处理垃圾渗滤液、污泥析出液和家禽粪便等高氨氮、低 C/N 比废水^[4,5]。目前, 关于单级自养脱氮工艺中氨氮的去除机制有不同的说法, 尚未形成共识。其中一种观点认为系统中部分 NH_4^+ 首先被亚硝酸菌氧化为 NO_2^- , 生成的 NO_2^- 与剩余的 NH_4^+ 则被厌氧氨氧化菌转化为 N_2 而实现氨氮的去除^[6,7]。由于人们对亚硝化反应途径的认识已较为成熟, 因此, 学界关注的焦点主要集中于厌氧氨氧化反应。有研究报道了厌氧氨氧化反应中氮的代谢途径, 指出该反应是

按照如图 1 所示的途径进行^[8]。另外一种观点则认为单级自养脱氮系统内的氮主要是利用引入 NO_x 循环得以去除的。在缺氧条件下, 亚硝化单胞菌可以利用 NO_2 为电子受体把 NH_3 氧化为 NO 、 NO_2^- , 生成的 NO_2^- 则通过反硝化途径被还原为 N_2 及少量的 N_2O 。而系统中消耗掉的 NO_2 可通过 $\text{N}_2\text{O}_4 \rightarrow \text{NO} \rightarrow \text{NO}_2 \rightarrow \text{N}_2\text{O}_4$ 的循环不断补充^[9,10]。

收稿日期: 2008-04-14; 修订日期: 2008-08-04

基金项目: 国家自然科学基金项目(50608071); 教育部科学技术研究重大项目(308020); 重庆大学研究生创新项目(200801A1A0180277)

作者简介: 杨国红(1981~), 女, 博士研究生, 主要研究方向为水污染控制理论与技术, E-mail: guohong706@yahoo.com.cn

* 通讯联系人, E-mail: xiduo@tom.com

本研究利用前期已建立的稳定运行的单级自养脱氮系统,采用批式试验的方式,通过测定单级自养脱氮系统内的中间产物及其含量,分析了系统内的氮素平衡,并探讨了氨氮的去除途径。

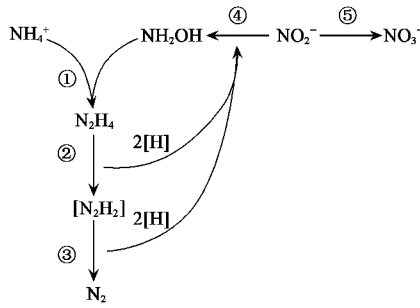


图1 文献报道的厌氧氨氧化代谢途径^[8]

Fig.1 Metabolic pathway of ANAMMOX studied^[8]

1 材料与方法

1.1 试验装置与方法

本研究以批式试验的方式进行,反应器是有效容积为500 mL的锥形瓶。反应器置于可控恒温振荡培养箱中,培养箱的温度和转速分别设置为30℃和130 r/min,使反应器的温度保持在30℃,并使反应器内污染物与微生物充分接触。反应器接口处采用橡皮塞和玻璃胶密封以实现反应器的密闭,反应器内产生的气体经两级干燥管干燥后收集于气体采样袋(大连光明化工研究所,体积为4 L)内以便于测定NO、NO₂、N₂O和N₂的含量。

每批试验进水在加入反应器之前,先用恒温磁力搅拌器加热至30℃,同时用过量的Ar曝气30 min,使进水的温度与恒温培养箱设置的温度相同并驱除进水中的N₂和O₂,曝气后进水中的DO低于LDOTMHQ10溶氧仪的检测限(0.01 mg/L),进水加入反应器后继续用Ar曝气30 min,驱除反应器内的空气,以免影响后期的测定和分析。

批式试验周期为12 h,每批试验运行3个周期,同时进行空白试验(反应器内只加填料与废水,没有污泥)作为参比。取进水和试验周期结束时反应器的出水,测定NH₄⁺、NO₂⁻、NO₃⁻、NH₂OH、N₂H₄和TN浓度。同时,在第3个运行周期中,每隔0.5 h取1次水样,分析各种氮化合物浓度在1个运行周期内的变化情况。

1.2 试验废水与气体

本研究所用试验废水为人工配置的模拟含氮废

水,每批试验进水中所加的氮化合物种类根据试验目的而有所不同(如表1),并加入适量的NaHCO₃使进水pH值为8.0±0.2,同时模拟废水中还加入少量营养盐贮备液(EDTA 5.0 g/L, CoCl₂·6H₂O 1.6 g/L, ZnSO₄·7H₂O 2.2 g/L, MnCl₂·4H₂O 5.1 g/L, CuSO₄·5H₂O 1.6 g/L, (NH₄)₆Mo₇O₂₄·4H₂O 1.1 g/L, CaCl₂·2H₂O 5.5 g/L, FeSO₄·7H₂O 5.0 g/L)。

曝气时所用气体种类根据每批试验条件的要求也有所不同,如表1所示。O₂/Ar的混合气中O₂占20%,Ar占80%。NO₂/Ar混合气中NO₂的比例为2%,Ar为98%。曝气流量通过气体转子流量计控制在4~6 mL/min。

表1 试验废水与气体

Table 1 Wastewater and gas used in the experiment

批次	人工模拟废水		曝气
	氮化合物	浓度/mg·L ⁻¹	
I	NH ₄ HCO ₃ (以N计,下同)	30	O ₂ /Ar
II	NH ₄ HCO ₃	30	NO ₂ /Ar
III	NH ₂ OHCl	30	Ar
	NaNO ₂	30	
IV	NH ₄ HCO ₃	30	O ₂ /Ar
	CH ₃ OH(以C计,下同)	15	
V	KNO ₃	30	Ar
	CH ₃ OH	15	
VI	N ₂ H ₄ ·H ₂ O	30	Ar
VII	NH ₄ HCO ₃	30	Ar
	NH ₂ OHCl	30	
VIII	NaNO ₂	30	Ar

1.3 污泥来源

试验所用污泥取自己稳定运行2年多的SBBR单级自养脱氮反应器^[11,12],接种污泥浓度(以MLSS计)为873.6 mg/L。

1.4 分析测定方法

NH₄⁺:纳氏试剂分光光度法^[13]; NO₂⁻:N-(1-萘基)-乙二胺比色法^[13]; NO₃⁻和TN:过硫酸钾氧化-紫外分光光度法^[13]; COD:重铬酸钾-硫酸银氧化法; MLSS:标准重量法^[13]。

NH₂OH和NH₂NH₂的测定方法分别参照文献[14,15]所描述的方法进行。

NO和NO₂的浓度用42C型NO-NO₂-NO_xAnalyzer(Thermo Scientific公司,美国)进行测定。

N₂O采用配置有ECD检测器的惠普5890气相色谱仪(惠普公司,美国)进行检测。

N₂则采用配置有TCD检测器的SC-6000气相色谱仪(重庆川仪,中国)进行测定。

pH: Session2型便携式pH/ISE测量仪(Hach公

司,美国);溶解氧:LDOTMHQ10便携式溶解氧测量仪(Hach公司,美国).

2 结果与分析

2.1 单级自养脱氮系统氮元素平衡研究

试验以只含氨氮的人工模拟废水Ⅰ为反应器进

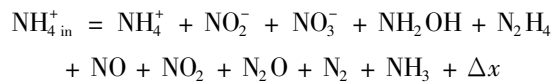
水,进水体积300 mL,并采用O₂/Ar的混合气进行曝气,曝气流量采用转子流量计控制在4~6 mL/min使反应器内的DO为1.0(±0.2) mg/L,同时连续收集反应器内产生的气体.12 h后检测系统出水中各种氮化合物的浓度及气体采样袋中NO、NO₂、N₂O和N₂的浓度,结果如表2所示.

表2 单级自养脱氮系统氨氮转化情况

Table 2 Conversion of ammonium in the completely autotrophic nitrogen removal in one reactor

氮化合物	NH ₄ ⁺ _{in}	NH ₄ ⁺	NO ₂ ⁻	NO ₃ ⁻	NH ₂ OH	N ₂ H ₄	NO	NO ₂	N ₂ O	N ₂
浓度(以N计)/mg·L ⁻¹	30.00	11.40	0.098	0.62	0.88	0.000 2	5.97×10 ⁻⁴	1.67×10 ⁻⁴	7.10×10 ⁻³	2.02
体积/mL	300	300	300	300	300	300	2 247	2 247	2 247	2 247
含量(以N计)/mg	9.00	3.42	0.029	0.19	0.264	0.000 06	0.001 3	0.000 38	0.016	4.54

在空白反应器内,12 h后系统出水氨氮浓度为28.75 mg/L,氨氮的减少主要是由NH₃逸出反应器引起的,即在试验过程中有0.375 mg的氨氮是通过吹脱作用去除的,以NH₃表示逸出反应器的氨氮,根据元素平衡有:



式中,Δx是由试验误差和因忽略微生物同化作用利用氮而引起的误差,代入数据得Δx=0.164 26 mg.

2.2 单级自养脱氮系统氨氮去除途径研究

分别以表1中的人工模拟废水为反应器进水,向反应器充入相应的气体,同时收集反应器内生成的气体,周期结束后检测系统进出水水质的变化情况和反应器内生成气体的种类及其含量,以研究单级自养脱氮系统中氨氮的去除途径.在不同进水质和运行条件下,系统内氮化合物的转化情况如表3所示.

以人工模拟废水Ⅱ为试验用水,并用NO₂/Ar的混合气进行曝气,反应器内DO低于检测限,12 h后系统出水氨氮浓度为28.83 mg/L,与空白反应器出

水氨氮浓度基本相当,并且出水及收集到的气体中并没有中间产物和N₂生成(如表3所示),即只有0.35 mg的NH₄⁺-N以NH₃的形式随NO₂和Ar一起逸出反应器,氨氮没有因为微生物的作用得到降解.表明在缺氧且NO₂足够的条件下,系统内的亚硝化菌并没有以NO₂为氧化剂把氨氮转化为NO、NO₂⁻和N₂,即该系统中不存在Schmidt等^[9,10]所报道的氨氮降解途径,可能系统内不存在该类型的亚硝化功能菌.

以含有NH₂OHCl和NaNO₂的人工模拟废水Ⅲ为试验废水,并采用Ar进行曝气以保持系统的缺氧状态.12 h后系统内有0.91 mg NH₂OH(以N计,下同)生成,同时收集到的气体中可以检测到NO、NO₂、N₂O和N₂,分别占氮类气体总质量的17.14%和82.64%.每隔2 h检测1次系统水质变化情况,结果如图2所示.NH₂OH和NO₂⁻的浓度均随时间的变化快速下降,而NH₂OH的浓度降低的更快,这可能与NH₂OH的易挥发性有关.系统中的NO₃⁻则基本检测不到,最高只有0.15 mg/L.

表3 不同进水水质条件下单级自养脱氮系统出水氮化合物质量¹⁾/mg

Table 3 Effluent quantity of nitrogen compounds in the completely autotrophic nitrogen removal system with different influent wastewaters/mg

进水	NH ₄ ⁺	NO ₂ ⁻	NO ₃ ⁻	NH ₂ OH	N ₂ H ₄	NO	NO ₂	N ₂ O	N ₂
NH ₄ HCO ₃	3.42	0.029	0.19	0.264	0.000 06	0.001 3	0.000 38	0.016	4.54
NH ₄ HCO ₃ /NO ₂	8.65	—	0.06	—	—	—	—	0.000 76	—
NH ₂ OHCl/NaNO ₂	2.99	0.09	0.91	—	—	0.013	0.002 8	1.23	5.93
NH ₄ HCO ₃ /CH ₃ OH	2.67	0.002	0.05	—	—	—	—	—	—
KNO ₃ /CH ₃ OH	1.79	5.27	—	—	—	0.003 9	0.000 066	0.002 6	1.96
N ₂ H ₄ ·H ₂ O	—	—	—	—	2.24	—	—	—	5.58
NH ₄ HCO ₃ /NH ₂ OHCl	6.26	0.027	—	5.18	2.01	—	—	—	—
NaNO ₂	5.57	0.05	1.68	—	—	—	—	—	—

1)“—”表示未检测出该物质的浓度,表中氮化合物的浓度均以N计

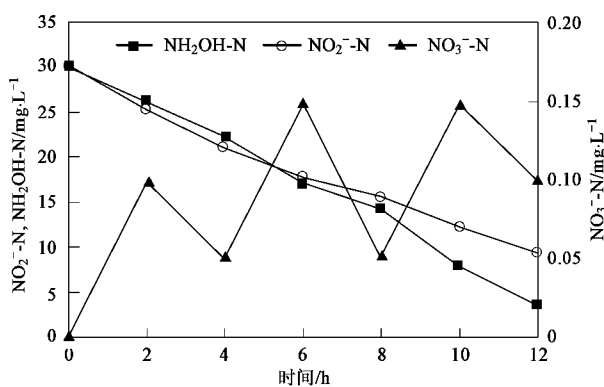


图 2 以模拟废水Ⅲ为进水时氮转化情况

Fig.2 Conversion of nitrogen compounds with synthetic III as influent wastewater

分别采用人工模拟废水Ⅵ、Ⅶ和Ⅷ为试验用水，并采用 Ar 进行曝气使反应器保持缺氧状态，以考察系统内是否有图 1 所示的厌氧氨氧化脱氮途径存在。由表 3 可知，在以 NaNO_2 为反应器进水的情况下，12 h 后系统内有 1.68 mg $\text{NH}_2\text{OH-N}$ 生成，同时伴随极少量 NO_3^- 生成，但是减少的 NO_2^- 量 (3.43 mg/L) 远远高于 NH_2OH 的生成量。一个运行周期内

NO_2^- 、 NO_3^- 和 NH_2OH 浓度的变化情况如图 3(a) 所示， NO_2^- 的降解速率 [0.97 $\text{mg} \cdot (\text{L} \cdot \text{h})^{-1}$ ，以 N 计，下同] 是 NH_2OH 生成速率 [0.45 $\text{mg} \cdot (\text{L} \cdot \text{h})^{-1}$] 的 2.16 倍，而系统内 NO_3^- 的浓度一直很低，最高只有 0.15 mg/L；以 $\text{NH}_4\text{HCO}_3/\text{NH}_2\text{OHCl}$ 为试验进水时，液相中主要产物为 N_2H_4 ，浓度达到 13.34 mg/L，同时有少量 NO_2^- 生成，基本检测不到 NO_3^- 的存在，而且转化掉的 NH_4^+ 和 NH_2OH 的总量 (6.56 mg) 高于系统内生成的 N_2H_4 和 NO_2^- 的总量 (4.02 mg)，有一部分氮化合物以其他形式逸出反应器。 NH_4^+ 、 NH_2OH 、 N_2H_4 和 NO_2^- 的浓度在一个运行周期内的变化情况如图 3(b) 所示， NH_4^+ 和 NH_2OH 的浓度均快速下降，后者下降的速率要高于前者，可能与 NH_2OH 的易挥发性有关；当反应器进水中仅含有 N_2H_4 时，出水 N_2H_4 只有 7.47 mg/L，反应器内生成的气体中可以检测到 5.58 mg 的 N_2 存在，但未检测到 NO 、 NO_2 和 N_2O 。 N_2H_4 的浓度在一个周期内的变化情况如图 3(c) 所示， N_2H_4 的浓度随着时间快速降低，降解速率为 1.99 $\text{mg} \cdot (\text{L} \cdot \text{h})^{-1}$ 。

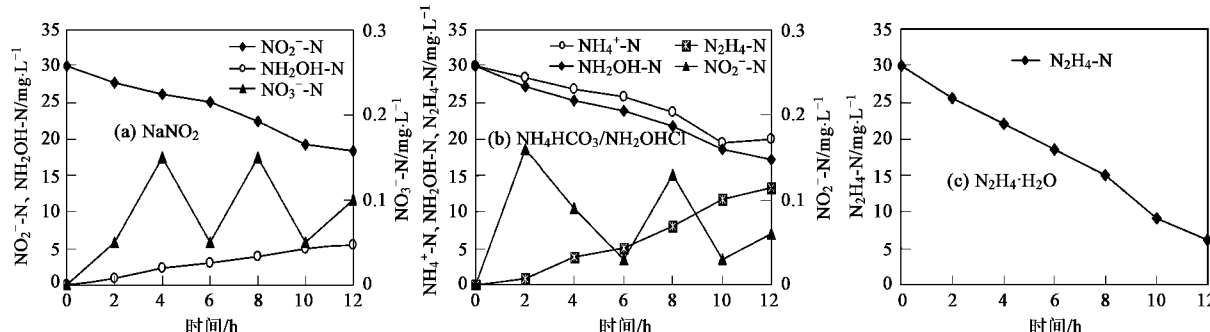


图 3 不同进水条件下氮转化情况

Fig.3 Conversion of nitrogen compounds with different influent wastewaters

虽然单级自养脱氮工艺可以在不投加有机碳源的条件下实现氨氮的去除，但是由于单级自养脱氮系统内不断有细菌死亡，反硝化菌仍然可以利用这些死细菌进行异养反硝化，同时反硝化菌还可以利用自身贮藏的物质进行内源反硝化。因此，本试验采用含有 KNO_3 和 CH_3OH 的人工模拟废水进行试验，研究系统内是否存在传统的硝化反硝化脱氮途径。12 h 后，系统中的 NO_3^- 从 30 mg/L 降低到 17.56 mg/L，COD 则从 60 mg/L 降低至 57.51 mg/L，同时反应器内有 5.97 mg/L 的 NO_2^- 发生积累，反应器生成的气体中可以检测到 NO 、 NO_2 、 N_2O 和 N_2 的存在，主

要气体产物为 N_2 (如表 3 所示)，表明系统内部分氨氮是通过传统的硝化反硝化途径去除的，但是该途径对氨氮的去除作用是有限的。

投加有机碳源前后，单级自养脱氮系统的氨氮转化情况如图 4 所示。可以看出，投加 CH_3OH 后，系统内 COD 浓度变化并不大，12 h 后出水 COD 只比进水 COD 降低了 2.55 mg/L，但投加 CH_3OH 的系统中 NO_2^- 和 NO_3^- 的浓度都较未投加 CH_3OH 的系统低，表明 COD 的存在有利于 NO_2^- 和 NO_3^- 的去除。投加 CH_3OH 后，系统的氨氮转化率和总氮去除率分别提高了 9.8% 和 3.73%。

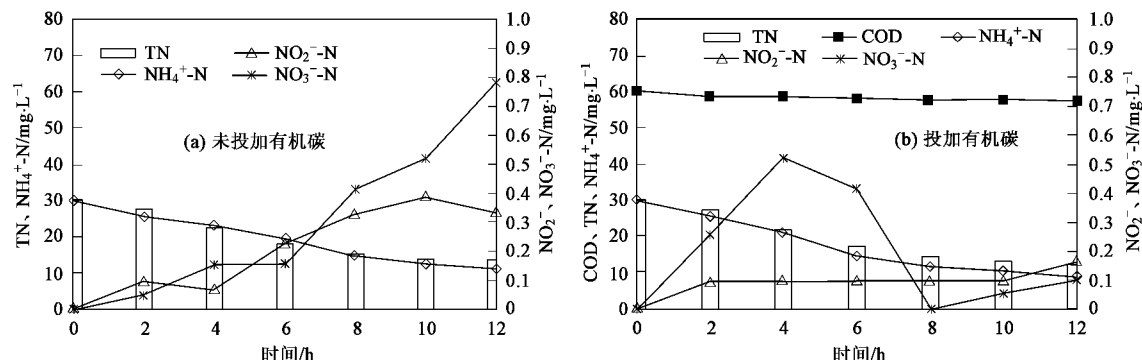


图 4 投加有机碳源前后单级自养脱氮系统氨氮转化情况

Fig. 4 Conversion of ammonium with and without addition of organic matters in the completely autotrophic nitrogen removal system

3 讨论

由氮素平衡试验结果可知,在未投加有机碳源的情况下,系统内 62% 的氨氮被转化为 NO_2^- 、 NO_3^- 、 NH_2OH 、 N_2H_4 、 NO 、 NO_2 、 N_2O 和 N_2 等一系列氮化合物,主要产物是 N_2 ,占总量的 90.07%,说明本系统实现了单级自养脱氮.

由试验结果可知,单级自养脱氮系统存在多种脱氮途径,但是每种脱氮途径去除氨氮的量有所不同.从图 4 可以看出,投加有机碳的单级自养脱氮系统的总氮去除率较未投加有机碳的系统提高了 3.73%,说明在单级自养脱氮系统内,由传统硝化反硝化途径去除的氨氮最多占 3.73%. Helmer 等^[16]也通过试验得出单级自养脱氮系统中有 18% 的氨氮是通过硝化反硝化途径去除的.同时由空白反应器的试验结果可知,4.5% 的氨氮是通过吹脱等物化作用去除的.剩余 53.77% 的氨氮则是通过自养脱氮途径去除的.因此,自养脱氮反应在单级自养脱氮系统内起最主要的作用.

目前,关于单级自养脱氮工艺氨氮去除机制的主流假说认为,氨氮是由亚硝化和厌氧氨氧化联合去除的.由表 2 所示的试验结果可知,在进水中仅含 NH_4^+ 的情况下,有部分 NO_2^- 生成,表明亚硝化反应是存在的.但是从表 3 和图 2 可以看出,以含有 NH_2OHCl 和 NaNO_2 的人工模拟废水为反应器进水并且保持系统缺氧的条件下, NH_2OH 和 NO_2^- 的浓度快速下降,同时系统内生成以 N_2O 和 N_2 为主的含氮类气体.由表 3 中以 $\text{KNO}_3/\text{CH}_3\text{OH}$ 为反应器进水的试验结果可知,即使在缺氧及有机碳源存在的条件下,只有 21.78% 的 NO_3^- 被转化为 N_2 ,且反应器内有 1.79 mg 的 NO_2^- 积累,因此可以推断,单级

自养脱氮反应器内的反硝化菌数量很少,或者代谢活性较低,系统内 NO_2^- 浓度的快速降低主要不是由反硝化作用引起的.而 NH_2OH 为好氧条件下氨氧化反应的中间产物,因此,系统内存在图 5 所示的厌氧氨氧化代谢途径,即 NH_4^+ 首先被氧化为 NH_2OH ,生成的 NH_2OH 则与 NO_2^- 一起被转化为 N_2O , N_2O 进一步转化为 N_2 .根据 Wood^[17] 和 Thauer 等^[18] 所报道的氮化合物转化吉布斯自由能, NH_3 与 NO_2^- 反应生成 N_2 的总吉布斯自由能为 $\Delta G^0 = -358 \text{ kJ} \cdot \text{mol}^{-1}$, NH_3 被氧化为 NH_2OH 的 $\Delta G^0 = -87 \text{ kJ} \cdot \text{mol}^{-1}$, 而 NH_2OH 与 NO_2^- 反应生成 N_2O 的 $\Delta G^0 = -270 \text{ kJ} \cdot \text{mol}^{-1}$, 生成的 N_2O 则将很快被转化为 N_2 .因此,从热力学角度来说,图 5 所示的代谢途径是完全可行的.

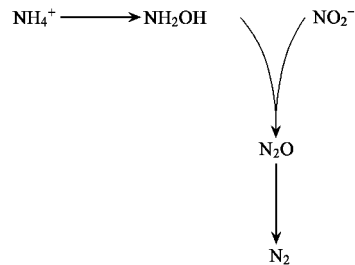


图 5 另一条厌氧氨氧化代谢途径

Fig. 5 Another metabolic pathway of ANAMMOX

以 NaNO_2 为反应器进水时, NO_2^- 的降解速率是 NH_2OH 生成速率的 2.16 倍,而且减少的 NO_2^- 量远远高于 NH_2OH 的生成量,究其原因,可能是因为反应器运行过程中部分生成的 NH_2OH 与 NO_2^- 反应生成了 N_2O 和 N_2 等物质.

表 3 和图 3 的试验结果则表明,系统内部分氨氮是通过图 1 所示的途径去除的.因此,单级自养脱氮系统内存在 2 种自养脱氮途径.即氨氮在亚硝酸

菌的作用下被氧化为亚硝酸盐后,生成的亚硝酸盐与剩余的氨氮分别按照图1和图5所示的途径被转化为N₂。

学界关于亚硝化反应代谢途径的研究较为成熟,认为氨氮是通过NH₃→NH₂OH→NO₂⁻这一途径被氧化为NO₂⁻的。把这一途径与图1所示的厌氧氨氧化代谢途径联系起来可以发现,在亚硝化代谢途径中需要把NH₂OH氧化为NO₂⁻,而在图1所示的厌氧氨氧化代谢途径中需要把NO₂⁻还原为NH₂OH,这2个过程是相反而重复的。因此,单级自养脱氮系统内的部分氨氮可能没有经历图1所示的代谢途径就按照如下过程被去除了:即部分NH₄⁺首先在好氧条件下被氧化为NH₂OH,生成的NH₂OH则与剩余的NH₄⁺一起被转化为N₂而实现氨氮的去除。关于上述疑问,还需要进一步的研究去证实。

本研究从宏观物质形态特征的角度对单级自养脱氮工艺氨氮去除途径进行了试验,探索了单级自养脱氮工艺的机制,但本研究成果仍有待于从单级自养脱氮系统内的微生物种类及其酶的催化作用等角度进行进一步的验证。

4 结论

(1)在未投加有机碳源的情况下,单级自养脱氮系统内62%的氨氮在微生物的作用下被转化为NO₂⁻、NO₃⁻、NH₂OH、N₂H₄、NO、NO₂、N₂O和N₂等多种氮化合物,其中N₂占90.07%。

(2)单级自养脱氮系统内氨氮是由多种途径去除的。4.5%的氨氮是通过吹脱等物化作用去除的,不超过3.73%的氨氮是通过传统的硝化反硝化途径去除的,53.77%左右的氨氮是由自养脱氮途径去除的,自养脱氮反应起主要的脱氮作用。

(3)单级自养脱氮系统内存在2条厌氧氨氧化代谢途径:其中一条途径即NH₄⁺在好氧条件下被氧化为NH₂OH后,生成的NH₂OH与系统内的NO₂⁻在缺氧条件下被转化为N₂O,N₂O则进一步被转化为N₂而实现氮的去除;另外一条代谢途径即NO₂⁻首先被还原为NH₂OH,生成的NH₂OH则与系统内的NH₄⁺反应生成N₂H₄,N₂H₄继续被转化为N₂而实现氮的去除。

(4)在足够NO₂存在并且缺氧的条件下,单级自养脱氮系统内的出水氨氮浓度与空白反应器相当,NH₄⁺并没有被亚硝化单胞菌以NO₂为电子受体

氧化为NO₂⁻和N₂等化合物而得以去除,可能是因为系统内不存在该类型的亚硝化功能菌。

参考文献:

- [1] Sun G Z, Austin D. Completely autotrophic nitrogen-removal over nitrite in lab-scale constructed wetlands: Evidence from a mass balance study [J]. Chemosphere, 2007, **68**(6): 1120-1128.
- [2] Slielers A O, Derworth N, Gomez J L C, et al. Completely autotrophic nitrogen removal over nitrite in one single reactor [J]. Water Research, 2002, **36**(10): 2475-2482.
- [3] Gong Z, Yang F L, Liu S T, et al. Feasibility of a membrane-aerated biofilm reactor to achieve single-stage autotrophic nitrogen removal based on Anammox [J]. Chemosphere, 2007, **69**(5): 776-784.
- [4] Ahn Y H, Choi H C. Autotrophic nitrogen removal from sludge liquids in upflow sludge bed reactor with external aeration [J]. Process Biochemistry, 2006, **41**(9): 1945-1950.
- [5] Dong X, Tollner E W. Evaluation of anammox and denitrification during anaerobic digestion of poultry manure [J]. Bioresource Technology, 2003, **86**(2): 139-145.
- [6] Gong Z, Liu S T, Yang F L, et al. Characterization of functional microbial community in a membrane-aerated biofilm reactor operated for completely autotrophic nitrogen removal [J]. Bioresource Technology, 2008, **99**(8): 2749-2756.
- [7] Nielsen M, Bollmann A, Slielers O, et al. Kinetics, Diffusional limitation and microscale distribution of chemistry and organisms in a CANON reactor [J]. FEMS Microbiology Ecology, 2005, **51**(2): 247-256.
- [8] van de Graaf A A, de Bruijn P, Robertson L A, et al. Metabolic pathway of anaerobic ammonium oxidation on the basis of ¹⁵N studies in a fluidized bed reactor [J]. Microbiology, 1997, **143**(7): 2415-2421.
- [9] Schmidt I, Bock E. Anaerobic ammonia oxidation by *Nitrosomonas eutropha* [J]. Arch Microbiol, 1997, **167**(2-3): 106-111.
- [10] Schmidt I, Zart D, Bock E. Gaseous NO₂ as a regulator for ammonia oxidation of *Nitrosomonas eutropha* [J]. Antonie van Leeuwenhoek, 2001, **79**: 311-318.
- [11] 方芳,杨国红,郭劲松,等. DO和曝停比对单级自养脱氮工艺影响试验研究[J].环境科学,2007, **28**(9): 1975-1980.
- [12] 郭劲松,方芳,罗本福,等.生物膜SBR反应器中低氨氮浓度废水亚硝化启动试验研究[J].环境科学,2006, **27**(4): 686-690.
- [13] 国家环保局.水和废水监测分析方法[M].(第四版).北京:中国环境科学出版社,2002.
- [14] Frear D S, Burrell R C. Spectrophotometric method for determining hydroxylamine reductase activity in higher plants [J]. Analytical Chemistry, 1955, **27**(10): 1664-1665.
- [15] Yatslmrlsky A K, Yatslmrlskaya N T, Kashina S B. Micellar catalysis and product stabilization in hydrazone formation reactions and micellar-modified determination of hydrazine and phenylhydrazine [J]. Analytical Chemistry, 1994, **66**: 2232-2237.
- [16] Helmer C, Tromm C, Hippen A, et al. Single stage biological nitrogen removal by nitrification and anaerobic ammonium oxidation in biofilm systems [J]. Water Science and Technology, 2001, **43**(1): 311-320.
- [17] Wood P M. Nitrification as a bacterial energy source [A]. In: Nitrification[C], IRL Press, Oxford, UK, 1986. 39-62.
- [18] Thauer R K, Jungermann K, Decker K. Energy conversation in chemotrophic anaerobic bacteria [J]. Bacterial Rev, 1977, **41**: 100-180.